

## مقایسه حل دوبعدی و یک بعدی استهلاک نوسانهای فشاری ضربه قوچ با ضریب اصطکاک حالت دائم و غیر دائم

بهار فیروز آبادی<sup>۱\*</sup>، حامد حامدی نژاد<sup>۲</sup>

۱- دانشیار دانشکده مهندسی مکانیک، دانشگاه صنعتی شریف ، تهران

۲- دانشجوی کارشناسی ارشد مهندسی مکانیک، دانشگاه صنعتی شریف

\* تهران، صندوق پستی ۹۵۶۷ - ۱۱۳۶۵

firoozabadi@sharif.edu

**چکیده**- به علت تغییر در شرایط شیرها، راهاندازی یا متوقف شدن پمپ‌ها یا تغییر بار مصرفی توربین‌ها در خطوط لوله، جریان گذرايی ایجاد شده و پدیده‌ای اتفاق می‌افتد که به آن ضربه قوچ می‌گویند. در چنین شرایطی، یک موج فشاری تولید می‌شود. عامل مستهلك شدن این امواج تنفس برشی دیواره است. مقایسه نتایج تجربی و تئوری نشان داده است که در مدل‌سازی استهلاک امواج فشاری، استفاده از ضریب اصطکاک دائم یا شبیه دائم در مدل‌های یک بعدی، به پیش‌بینی غلط رویدادها منجر می‌شود. در حقیقت پروفیل‌های سرعت در شرایط واقعی غیر دائم، گرادیان‌های شدیدتری داشته و در نتیجه تنفس برشی از حالت دائم بیشتر خواهد بود. به علاوه در جریان گذرا ممکن است تنفس برشی روی دیوار با متوسط جریان هم فاز نباشد. این وابستگی ضریب اصطکاک به فرکانس، در مدل‌های یک بعدی به‌وضوح مشخص نیست. در نتیجه مطمئن‌ترین روش مدل‌سازی جریان گذرا روش دوبعدی است که در آن پروفیل سرعت در هر لحظه به‌دست می‌آید؛ اگر چه روش‌های دو بعدی با وجود دقت بالا، از نظر حجم محاسبات پر هزینه هستند. در این مقاله شرایط گذراي سیستم شیر-لوله-مخزن به صورت دوبعدی برای جریان آرام و آشفته شبیه‌سازی شده است. در جریان آشفته از فرضیه طول اختلاط پرانتل برای مدل‌سازی آشفتگی استفاده شده است. نتایج حاصل از این روش با نتایج به‌دست آمده از مدل‌های یک بعدی با ضرایب اصطکاک دائم و غیر دائم (مدل برونون) نیز مقایسه شده است. در مدل‌سازی حاضر برای کاهش حجم محاسبات و زمان اجرا، در جمله غیر خطی تنفس برشی در مدل آشفتگی از فیزیک مسئله استفاده شده است. مقایسه نتایج روش دو بعدی با نتایج تجربی و نیز نتایج یک بعدی نشان می‌دهد که روش حاضر به‌خوبی می‌تواند استهلاک نوسانات را پیش‌بینی کند.

**کلیدوازگان:** جریان گذرا<sup>۱</sup>، مدل‌های اصطکاک غیر دائم<sup>۲</sup>، نظریه طول اختلاط<sup>۳</sup>، روش تفاضل محدود<sup>۴</sup>، مدل دو بعدی،

ضربه قوچ

- 
1. Transient Flow
  2. Unsteady Friction Models
  3. Mixing Length Theory
  4. Finite-Difference Method

مشاهده نمی‌شود (Pezzinga, 1999). با وجود این گرچه روش‌های یک بعدی دنباله نوسانها را به خوبی پیش‌بینی نمی‌کنند، اما حداکثر و حداقل فشار را با تقریب نسبتاً خوبی پیش‌بینی می‌کنند (Pezzinga, 2000). لذا به نظر می‌رسد در مسائل مهندسی - اگر مقصود پیش‌بینی می‌تواند در مسائل مهندسی - اگر مقصود پیش‌بینی حداکثر فشار باشد و سیستم شامل شبکه لوله‌ها نباشد - روش‌های یک بعدی و اعمال ضریب اصطکاک دائم می‌تواند مناسب باشد. اما برای محاسبه نحوه استهلاک این امواج روش‌های یک بعدی با اعمال ضریب اصطکاک دائم یا شبه دائم چندان کارا نبوده و به همین دلیل به روابط تجربی نیاز دارد.

بنابراین برای پیش‌بینی بهتر دنباله نوسانها، مطمئن‌ترین روش، به دست آوردن نیمرخ سرعت در هر لحظه است تا بتوان مقدار دقیق تنش برشی و اثر استهلاکی آن را بر روی امواج به دست آورد. برای این منظور باید جریان در مقطع لوله به صورت دو بعدی تحلیل شود. در مدل‌های دو بعدی و شبه دو بعدی نیمرخ سرعت واقعی در سطح مقطع لوله مورد توجه قرار می‌گیرد و جریان گذرا را با دقت بالاتری می‌توان مدل‌سازی کرد. همچنین این مدل‌ها با فیزیک موج و مدل آشتفتگی سازگارترند (Vakil et al., 2006). به این ترتیب در تحلیل دو بعدی، ضریب اصطکاک به توزیع سرعت لحظه‌ای جریان وابسته خواهد بود.

در حالت دو بعدی معادلات حاکم بر جریانهای آشفته گذرا، سیستمی از معادلات دیفرانسیل پاره‌ای هذلولوی- سهموی را ایجاد می‌کنند که در حالت کلی به صورت تحلیلی قابل حل نبوده و فقط برای حالتهای خاص جریانهای آرام غیر دائم می‌توان با حل تحلیلی، نیمرخ سرعت را به دست آورد (Holmboe et al., 1967). برای حل معادلات حاکم بر جریان گذرا، سیلووا و چادری (Silva-Araya et al., 1997) قسمت هذلولوی معادلات را با روش مشخصه‌ها<sup>۱</sup> در یک بعد و قسمت سهموی را با

## ۱- مقدمه

در روش‌های مدل‌سازی یک بعدی ضربه قوچ، در نظر گرفتن ضریب اصطکاک بر اساس روابط جریان دائم (با سرعت متوسط) یا شبه دائم (با عدد رینولدز لحظه‌ای محلی) منجر به پیش‌بینی غیر دقیق شرایط گذرا و در نتیجه کاهش استهلاک موج فشاری خواهد شد. تحت این شرایط نوسانهای حاصل از شرایط گذرا به کندي مستهلك می‌شوند و نمی‌توانند نتایج حاصل از آزمایش را به خوبی پیش‌بینی کنند (Wylie et al., 1993). در عمل، عبور پی در پروفیل سرعت ایجاد می‌کند که باعث افزایش تنش برشی در سیال می‌شود. به همین علت فرکانس‌های مرتبه بالاتر امواج، بسیار سریع‌تر از مؤلفه‌های با فرکانس کمتر مستهلك می‌شوند (Vardy et al., 1995). بنابراین اصطکاک جدار در عمل بسیار بیشتر از مقدار محاسبه شده در مدل‌های یک بعدی است. همچنین در این مدل‌ها وابستگی اصطکاک به فرکانس به طور صریح بیان نمی‌شود (Pezzinga, 1999). از طرف دیگر میرایی نوسانها در شبکه لوله‌ها نسبت به لوله ساده اهمیت بیشتری پیدا می‌کند (Pezzinga, 1999)، زیرا تأثیر نوسانها در شبکه لوله باعث جابه‌جا شدن موقعیت مکانی و زمانی فشارهای بحرانی شبکه می‌شود.

در جریان‌های گذرا، گرادیان شدیدی که در پروفیل سرعت وجود دارد باعث می‌شود که عدد رینولدز محلی به تنها یک مرجع مناسبی برای محاسبه تنش برشی دیوار نباشد. همچنین در شرایط جریان گذرا، تنش برشی در دیوار با سرعت متوسط جریان لزوماً هم‌فاز نیست (Silva-Araya et al., 1997). برای حل این مشکل در روش‌های یک بعدی از پیشینه جریان نیز کمک گرفته می‌شود تا با اضافه کردن جمله‌هایی به ضریب اصطکاک دائم، تأثیر گرادیان لحظه‌ای سرعت نیز اعمال شود. با وجود این وابستگی اصطکاک به فرکانس در این مدل‌ها

1. Method of Characteristics

$\sigma_\theta$  انحراف از تنفس نرمال در راستای طولی، شعاعی و زاویه‌ای است.

واردی و هوانگ (Vardy et al., 1991) نشان دادند که در جریان آرام و همچنین در جریان آشفته گذرا، سرعت در راستای شعاعی در حدود  $5\text{--}10 \mu\text{m/s}$  است، بنابراین از سرعت در راستای شعاعی و مشتقات آن در معادلات (۲) و (۳) صرف نظر شده است. در نتیجه معادله (۳) به صورت زیر ساده می‌شود (Pezzinga, 1999):

$$\frac{\partial H}{\partial r} = 0 \quad (4)$$

که نشان می‌دهد فشار در هر مقطع مستقل از  $r$  است.  $H$  تابعی از  $r$ ،  $x$  و  $t$  است، حال آنکه متغیرهای  $Q$  فقط تابعی از  $x$  و  $t$  می‌باشند. اکنون با در نظر گرفتن این شرایط و دوباره نویسی معادلات (۱) و (۲) معادلات زیر به دست می‌آید:

$$\frac{\partial H}{\partial t} + \frac{a^2}{gA_0} + \frac{\partial Q}{\partial x} = 0 \quad (5)$$

$$\frac{\partial U}{\partial t} + g \frac{\partial H}{\partial x} + \frac{1}{\rho r} \frac{\partial(r\tau)}{\partial r} = 0 \quad (6)$$

که  $A_0$  سطح مقطع لوله،  $a$  سرعت موج و  $Q$  دبی جریان است که با انتگرال‌گیری از سرعت روی سطح مقطع به دست می‌آید.

از آنجا که  $dA = 2\pi r dr$ ، می‌توان معادله (۶) را به صورت مناسب زیر نوشت:

$$\frac{\partial U}{\partial t} + g \frac{\partial H}{\partial x} + \frac{2\pi}{\rho} \frac{\partial(r\tau)}{\partial A} = 0 \quad (7)$$

### ۳- مدل تنفس برشی

در جریان آشفته، برای محاسبه تنفس برشی در لایه مرزی نزدیک دیوار از قانون نیوتون در زیر لایه لزج و در ناحیه آشفته از فرضیه طول اختلاط پرانتل استفاده می‌شود (Cengel et al., 2006).

روش تفاضل محدود<sup>۱</sup> حل کردند.

اما پزینگا (Pezzinga, 2000) روش دوبعدی و یک بعدی جریان گذرا را در شبکه لوله با استفاده از روش تفاضل محدود به صورت ضمنی تحلیل کرد. هر دوی آنها ذکر کرده‌اند که مشکل مهم روش‌های دوبعدی، هزینه بالاتر محاسبات نسبت به روش‌های یک بعدی است (Silva-Araya et al., 1997 and Pezzinga, 2000).

در مقاله حاضر، جریان گذرا در یک شبکه شیر-لوله-مخزن به صورت دوبعدی مدل‌سازی شده است. برای شبیه‌سازی آشفته‌گی از فرضیه طول اختلاط پرانتل استفاده شده است. در این قسمت برای کاهش حجم و زمان محاسبات، قسمت غیر خطی تنفس برشی با روشی متکنی بر فیزیک مسئله ارائه شده است.

### ۲- معادلات حاکم

معادلات پیوستگی و مومنتوم برای یک جریان در لوله الاستیک با مقطع دایره‌ای با فرض جریان متقارن محوری در این لوله و در مختصات استوانه‌ای به صورت زیر است (Pezzinga, 1999):

$$\frac{\partial \rho}{\partial t} + \frac{\partial(\rho u)}{\partial x} + \frac{1}{r} \frac{\partial(\rho rv)}{\partial x} = 0 \quad (1)$$

$$\frac{\partial u}{\partial t} + u \frac{\partial u}{\partial x} + v \frac{\partial u}{\partial r} = -g \frac{\partial H}{\partial x} - \frac{1}{\rho} \frac{\partial \sigma_x}{\partial x} - \frac{1}{\rho r} \frac{\partial(r\tau)}{\partial r} \quad (2)$$

$$\begin{aligned} \frac{\partial v}{\partial t} + u \frac{\partial v}{\partial x} + v \frac{\partial v}{\partial r} &= \\ -g \frac{\partial H}{\partial r} - \frac{1}{\rho} \frac{\partial \tau}{\partial x} - \frac{1}{\rho r} \frac{\partial(r\partial_r)}{\partial r} + \frac{\partial \sigma_\theta}{\partial r} & \end{aligned} \quad (3)$$

که  $x$  فاصله در طول لوله،  $r$  فاصله شعاعی از محور،  $t$  زمان،  $H$  بلندای پیزومتریک،  $p$  فشار،  $u$  و  $v$  به ترتیب سرعت در جهت محوری و شعاعی لوله،  $\rho$  چگالی سیال،  $g$  شتاب جاذبه،  $\tau$  تنفس برشی دیوار،  $\sigma_x$  و  $\sigma_r$  و

1. Finite-Difference

در اینجا  $B$  بر اساس تابعی که شلیختینگ (Schlichting, 2000) برای لوله‌های صنعتی به دست آورد، به صورت زیر بیان می‌شود:

$$B = 8.25 - 2.5 \ln \left( 1 + \frac{3.32}{\text{Re}_*} \right) \quad (15)$$

### ۴- گسته‌سازی و حل معادلات حاکم به روش تفاضل محدود

معادلات (۱) و (۲) معادلات دیفرانسیل پارهای هذلولوی غیر خطی هستند و در حالت کلی به جز روش‌های عددی، روش حل دیگری ندارند. در مقاله حاضر این معادلات به روش تفاضل محدود حل شده است. لوله توسط شبکه‌بندی استوانه‌ای با المان  $\Delta x$  در راستای طولی و المان‌های سطح مقطع  $\Delta A$  در جهت شعاعی شبکه‌بندی می‌شود.  $r_j$  فاصله هر مؤلفه سرعت تا محور لوله است.  $\Delta r_j$  فاصله دو سطح هر المان در راستای شعاعی است. ضمناً  $\tau_{i,j}$  روی این سطوح تعریف می‌شوند، حال آنکه مؤلفه سرعت  $u_{i,j}$  در وسط این المان قرار می‌گیرد.  $\Delta r_j$ ‌ها با نزدیک شدن به دیوار به صورت لگاریتمی کاهش می‌یابند. از آنجا که پروفیل سرعت در نزدیک دیوار تغییرات شدیدتری دارد، شبکه‌بندی در نزدیک دیوار ریزتر شده و باعث افزایش دقت محاسبات می‌شود (شکل ۱).

به صورت تابعی از المان طولی به صورت  $\Delta t$  در نظر گرفته شده است. با این شرط گام‌های زمانی با المان‌های طولی کوپل شده که باعث پایداری روش محاسباتی خواهد شد (Pezzinga, 1999). از یک شبکه جابجا شده در راستای طولی استفاده شده است، به طوری که مقادیر سرعت و تنش برشی را در وجههای المان قرار داده و مقدار فشار نظیر هر المان در مرکز المان قرار می‌گیرد.

$$\tau = -\rho v \frac{\partial u}{\partial r} - \rho I^2 \left| \frac{\partial u}{\partial r} \right| \frac{\partial u}{\partial r} \quad (8)$$

که  $V$  لزجت سینماتیک و  $I$  طول اختلاط است که از رابطه زیر محاسبه می‌شود (Cengel et al., 2006)

$$\frac{I}{R} = \alpha \frac{y}{R} e^{-\frac{y}{R}} \quad (9)$$

که  $y$  فاصله از دیوار،  $R$  شعاع لوله،  $\alpha$  ثابتی است که دارسی آن را برابر  $0.38$  فرض کرد. در این مقاله تابعی از عدد رینولدز بر اساس داده‌های تجربی نیکورادسی به صورت زیر در نظر گرفته شده است [۳]:

$$\alpha = 0.374 + 0.0132 \ln \left( 1 + \frac{83100}{\text{Re}} \right) \quad (10)$$

لایه مرزی آشفته شامل دو ناحیه زیر لایه لزج و ناحیه آشفته در نظر گرفته شده است. در زیر لایه لزج پروفیل سرعت خطی بوده و در ناحیه آشفته لگاریتمی است. در زیر لایه لزج پروفیل سرعت به صورت زیر ارائه شده است (Cengel et al., 2006):

$$\frac{u}{u_*} = \frac{u_* y}{v} \quad (11)$$

که در آن سرعت اصطکاکی به صورت زیر تعریف می‌شود:

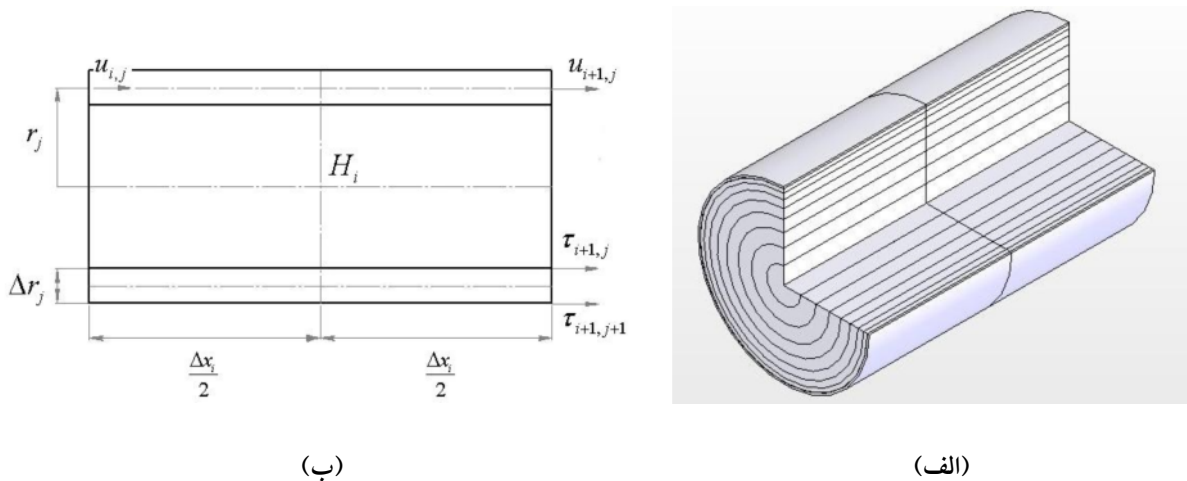
$$u_* = \sqrt{\tau_w / \rho} \quad (12)$$

در ناحیه آشفته از رابطه لگاریتمی زیر استفاده می‌شود (Cengel et al., 2006):

$$\frac{u}{u_*} = 2.5 \ln \frac{y}{\varepsilon} + B \quad (13)$$

که در این رابطه  $\varepsilon$  زیری سطح داخلی لوله است و اگر مقدار آن داده نشده باشد،  $\varepsilon = 2 * 10^{-4} R$  فرض شده که مقدار متوسط برای لوله‌های صنعتی در دیاگرام مودی در نظر گرفته شده است.  $B$  تابعی از عدد رینولدز اصطکاکی است که به صورت زیر تعریف می‌شود:

$$\text{Re}_* = u_* \frac{\varepsilon}{v} \quad (14)$$



شکل ۱ شبکه‌بندی در مختصات استوانه‌ای، الف-موقعیت المان‌ها در مقطع لوله و ب- موقعیت مؤلفه‌ها در هر المان

می‌کند. اگر  $\beta = 0$  باشد روش جداسازی، صریح بوده و اگر  $\beta = 1$  باشد روش ضمنی است. از آنجا که پایداری روش صریح تحت تأثیر انتخاب گام‌های زمانی است، مقدار  $0.5 = \beta$  در نظر گرفته شده است. در صورتی که پایداری بیشتری برای مسئله مدنظر بود مقداری بزرگتر از  $0.5/\beta$  برای آن منظور خواهد شد.

از آنجا که معادله مومنتوم برای مکان  $(i, j)$  نوشته شده و تنش برشی روی کنارهای المان با استفاده از  $\tau_{i,j}^k$  و  $\tau_{i,j+1}^k$  نوشته شده که با جفت سرعت‌های نامعلوم  $u_{i,j}^k$ ،  $u_{i,j+2}^k$  مشخص شده، دستگاه معادلات غیر خطی را به صورت  $A(U).U=B$  برای هر مقطع تشکیل می‌دهند. ( $A(u)$  ماتریس ضرایب،  $u$  بردار سرعت‌های نامعلوم و  $B$  بردار ضرایب معلوم است. از آنجا که ماتریس ضرایب چهار قطعی است با روش‌های تکراری قابل حل است. مقادیر اولیه در هر گام برابر مقدار به دست آمده در مرحله قبل است. برای گسترش سازی  $\tau$  از روش تفاضل مرکزی استفاده شده است. همچنین برای حل قسمت غیر خطی مدل تنش برشی، برای عبارت داخل قدر مطلق از پروفیل سرعت در گام قبلی - که موج

معادله پیوستگی با روش جداسازی صریح به صورت زیر گسترش‌سازی شده است:

$$\frac{H_i^k - H_i^{k-1}}{\Delta t} + \frac{a^2}{gA_0} \frac{Q_{i+1}^{k-1} - Q_i^{k-1}}{\Delta x} = 0 \quad (16)$$

$$\text{و } i \text{ به ترتیب به } x \text{ و زمان مربوط است.} \\ \text{همگرایی روش صریح، به اندازه المان‌ها وابسته است،} \\ \text{برای حل این مشکل معادله مومنتوم با روش غیر صریح} \\ \text{(نیمه ضمنی) به صورت زیر گسترش‌سازی می‌شود:} \\ \frac{u_{i,j}^k - u_{i,j}^{k-1}}{\Delta t} + g \frac{H_i^k - H_{i-1}^k}{\Delta x} + \\ \frac{2\pi}{\rho} \frac{(r_{j+1}\tau_{i,j+1}^* - r_j\tau_{i,j}^*)}{\Delta A} = 0 \quad (17)$$

که شاخص  $j$  به جهت  $r$  اشاره دارد. در این رابطه فشار در هر لحظه به صورت زیر محاسبه می‌شود. برای هر گام زمانی مقادیر  $H$  و  $Q$  در کل لوله محاسبه می‌شود. سپس برای همان گام زمانی پروفیل سرعت در تمامی مقاطع محاسبه می‌شود. برای محاسبه تنش برشی از رابطه زیر استفاده شده است:

$$\tau_{i,j}^* = (1 - \beta)\tau_{i,j}^{k-1} + \beta\tau_{i,j}^k \quad (18)$$

که در آن  $\beta$  یک ضریب وزنی است که بین ۰ و ۱ تغییر

$$\xi = \frac{C_d A_G}{(C_d A_G)_0} \quad (22)$$

با حل همزمان معادلات (۲۱ و ۲۲) مقدار  $H$  پشت شیر با روش تکرار محاسبه می‌شود، به طوری که بلندای گره آخر با دبی شیر و قبل از آن متناسب باشد.

### ۵- معادلات حاکم بر مدل یکبعدی ضربه قوچ

معادلات یک بعدی توصیف کننده جریان‌های گذرا با فرضیات تراکم پذیری سیال، الاستیک بودن دیوارهای لوله و تلفات اصطکاکی دائم، بر حسب دو متغیر وابسته سرعت،  $V(x, t)$  و فشار،  $P(x, t)$  و دو متغیر مستقل مکان در طول لوله،  $x$  و زمان،  $t$  به صورت زیر است (Wylie et al., 1993)

$$L_1 = \frac{\partial V}{\partial t} + V \frac{\partial V}{\partial x} + \frac{1}{\rho} \frac{\partial P}{\partial x} + g \sin \alpha + \frac{fV|V|}{2D} = 0 \quad (23)$$

$$L_2 = \frac{\partial P}{\partial t} + V \frac{\partial P}{\partial x} + \rho a^2 \frac{\partial V}{\partial x} = 0 \quad (24)$$

در این معادلات  $a$  سرعت موج فشاری،  $g$  شتاب ثقل،  $\rho$  چگالی سیال،  $\alpha$  زاویه لوله نسبت به افق و  $D$  قطر لوله است. معادلات فوق را بر حسب دبی،  $Q(x, t)$  و بلندای پیزومتریک،  $H(x, t)$  در نظر گرفته و با ترکیب خطی معادلات (۲۳) و (۲۴) با ضریب نامشخص  $\lambda$  به صورت معادله (۲۵) در نظر گرفته می‌شود (Wylie et al., 1993)

$$L = L_1 + \lambda L_2 = \lambda g A \left[ \frac{\partial H}{\partial t} + \frac{1}{\lambda} \frac{\partial H}{\partial x} \right] + \left[ \frac{\partial Q}{\partial t} + \lambda a^2 \frac{\partial Q}{\partial x} \right] + f \frac{Q|Q|}{2DA} = 0 \quad (25)$$

از آن گذشته - استفاده شده است. پایداری این روش به مراتب بهتر از حالتی است که از پروفیل سرعت در زمان قبل تر استفاده شود. ضمناً برای پروفیل سرعت و در شرایط اولیه جریان در صورت آشفته بودن از قانون توانی

$$\frac{1}{7} \text{ استفاده می‌شود (روابط ۱۹ و ۲۰).}$$

این که از کدام یک از دو معادله فوق استفاده شود، به جهت حرکت موج بستگی دارد. اگر در حل خط به خط مقاطع عرضی در برنامه عددی موج فشاری از شیر به سمت مخزن باشد، از معادله (۲۰) و در غیر این صورت از معادله (۱۹) استفاده می‌شود.

برای شرط مرزی در مخزن بالادست، معمولاً می‌توان خط هیدرولیکی را در طی حالت گذرا ثابت در نظر گرفت. این شرط مرزی بیان می‌کند که  $H_{(l,l)} = H_R$  که در آن  $H_R$  ارتفاع سطح مخزن بالای خط تراز است، یعنی در تمامی زمان‌ها فشار این المان برابر فشار مخزن در نظر گرفته می‌شود.

برای شرط مرزی شیر در پایین دست انتهای لوله، از معادله روزنے در حالت کلی استفاده می‌شود (Wylie et al., 1993)

$$Q = \frac{Q_0}{\sqrt{H_0}} \xi \sqrt{\Delta H} \quad (21)$$

که در آن  $Q_0$  دبی جریان دائم و  $H_0$  افت بلندای حالت دائم در شیر و  $\Delta H$  افت لحظه‌ای در خط تراز هیدرولیکی در شیر و  $\xi$  کمیتی بی‌بعد است که در آن اثر  $C_d A_G$  (حاصل ضرب سطح مقطع باز شیر در ضریب تخلیه) دیده می‌شود:

$$\tau_{i,j}^k = -\mu \left( \frac{u_{i,j+1}^k - u_{i,j-1}^k}{r_{j+1} - r_{j-1}} \right) + \rho \cdot l^2(j) \cdot abs \left( \frac{u_{i-1,j+1}^k - u_{i-1,j-1}^k}{r_{j+1} - r_{j-1}} \right) \cdot \left( \frac{u_{i,j+1}^k - u_{i,j-1}^k}{r_{j+1} - r_{j-1}} \right) \quad (19)$$

$$\tau_{i,j}^k = -\mu \left( \frac{u_{i,j+1}^k - u_{i,j-1}^k}{r_{j+1} - r_{j-1}} \right) + \rho \cdot l^2(j) \cdot abs \left( \frac{u_{i+1,j+1}^{k-1} - u_{i+1,j-1}^{k-1}}{r_{j+1} - r_{j-1}} \right) \cdot \left( \frac{u_{i,j+1}^k - u_{i,j-1}^k}{r_{j+1} - r_{j-1}} \right) \quad (20)$$

$$f_u = \frac{kD}{V|V|} \left( \frac{\partial V}{\partial t} - a \frac{\partial V}{\partial x} \right) \quad (28)$$

برگنت و همکاران (Bergant et al., 2001)، رابطه بالا را برای تعیین علامت جمله جابجایی به صورت زیر اصلاح کردند:

$$f_u = \frac{kD}{V|V|} \left( \frac{\partial V}{\partial t} + a \operatorname{sign}(V) \left| \frac{\partial V}{\partial x} \right| \right) \quad (29)$$

ضریب  $k$  به صورت تجربی بدست می‌آید و هم واردی توسط ضریب اتلاف،  $C^*$  را به صورت زیر برای جریان آرام و آشفته تعریف کرده است (Bergant et al., 2001):

$$k = \frac{\sqrt{C^*}}{2}$$

$$C^* = 0.00476 \quad \text{برای جریان آرام}$$

$$C^* = \frac{7.41}{\log_{10}\left(\frac{14.3}{Re^{0.05}}\right)} \quad \text{برای جریان آشفته}$$

مرجع (Vakil et al., 2006) مقادیر تجربی  $k$  را بین  $0.003$  و  $0.015$  ذکر کرده است. به منظور در نظر گرفتن جمله اصطکاک غیر دائم، رابطه  $L_1$  از معادله (۲۳) با مدل اصلاح شده برونوون به صورت رابطه (۳۰) قابل بازنویسی است (Vakil et al., 2005):

$$L_1 = Q_t + gAH_x + \frac{fQ|Q|}{2DA} + k(Q_t + a\phi_A Q_x) = 0 \quad (30)$$

که در آن  $\phi_A = +1$  برای  $VV_x < 0$  و  $\phi_A = -1$  برای  $VV_x \geq 0$  است. در این صورت معادله (۲۵) به معادله (۳۱) تبدیل می‌شود:

$$L = \lambda \left[ H_t + \frac{gA}{\lambda} H_x \right] + \left( 1+k \right) \left[ Q_t + \frac{\lambda a^2 + gAka\phi_A}{(1+k)gA} Q_x \right] + \frac{fQ|Q|}{2DA} = 0 \quad (31)$$

که در آن:

$$\lambda = -\frac{gAk}{2a} \phi_A \pm \frac{gA}{2a} (k+2) \quad (33)$$

لذا مشاهده می‌شود که با اضافه کردن جمله اصطکاک غیر

با تعریف مشتق کلی و برابر قرار دادن ضرایب  $\frac{\partial Q}{\partial x}$  و  $\frac{\partial H}{\partial x}$ ، خطوط مشخصه مثبت و منفی به صورت زیر حاصل می‌شود:

$$\frac{dx}{dt} = \frac{g}{\lambda} \quad \text{و} \quad \frac{dx}{dt} = \frac{g}{\lambda} \quad (26)$$

با جایگذاری  $\lambda$  در معادله (۲۵) دو زوج معادله وابسته به صورت رابطه (۲۷) حاصل می‌شود:

$$\begin{cases} C^+ \left\{ \begin{array}{l} \frac{gA}{a} \frac{dH}{dt} + \frac{dQ}{dt} + f \frac{Q|Q|}{2DA} = 0 \\ \frac{dx}{dt} = +a \end{array} \right. \\ C^- \left\{ \begin{array}{l} -\frac{gA}{a} \frac{dH}{dt} + \frac{dQ}{dt} + f \frac{Q|Q|}{2DA} = 0 \\ \frac{dx}{dt} = -a \end{array} \right. \end{cases} \quad (27)$$

با انتگرال گیری از معادلات (۲۷) در راستای خطوط مشخصه، معادلات تفاضل محدودی حاصل می‌شود که با دانستن شرایط  $(i+1, t - \Delta t)$  و  $(i-1, t - \Delta t)$ ، در هر گره داخلی شبکه در مقطع  $i$ ، دو معادله همزمان برای مقادیر نامعلوم  $H(i, t)$  و  $Q(i, t)$  حل می‌شود.

در مدل برونوون (Brunone et al., 2000) معادلات گذرای ضربه قوچ به صورت یک بعدی حل می‌شود، اما جمله اصطکاک به سرعت جریان متوسط لحظه‌ای  $V$ ، شتاب محلی لحظه‌ای  $V \frac{\partial V}{\partial t}$  و شتاب جابجایی  $V \frac{\partial V}{\partial x}$  وابسته است. به بیان دیگر، به ضریب اصطکاک شبه دائم دارسی-وايسباخ  $f_q$ ، جمله غیر دائم ضریب اصطکاک،  $f_u$ ، به صورت زیر اضافه می‌شود (Vakil et al., 2005)، که در آن  $(f = f_q + f_u)$

با توجه به تعریف مشتق کلی:

$$\frac{dx}{dt} = \frac{gA}{\lambda} = \frac{\lambda a^2 + gAka\phi_A}{(1+k)gA} \quad (32)$$

سیال لرج است. در این آزمایش، یک پالس فشار به اندازه  $m = 359$  در مدت زمان  $ms = 2$  تولید شده و طول لوله را طی می‌کند که با بستن ناگهانی شیر معادل است. دو فشارسنجدی که در لوله نصب شده، افت فشار ناشی از حرکت موج گذرا را نشان می‌دهند (Holmboe et al. 1967). نتایج این آزمایش با نتایج مدل یک بعدی والتر و مدل دو بعدی Holmboe et al. (1967) مقایسه و در شکل ۳ نشان داده شده است.

در آزمایش (Holmboe et al. 1967) قطر لوله  $D = 0.0152\text{ m}$  و چگالی و لرجهت سیال به ترتیب  $\rho = 900 \frac{\text{kg}}{\text{m}^3}$  و  $\mu = 0.304 \frac{\text{N.S}}{\text{m}^2}$  بوده است. هم چنان که از نتایج عددی شکل ۳ دیده می‌شود، حل دو بعدی به خوبی می‌تواند بلندای فشاری را در طول لوله مدل سازی کند، در حالی که در مدل یک بعدی نوسانهای استهلاک نوسات بسیار کند است که قابل انتظار نیز بود. در ادامه از نتایج ارائه شده در تحقیقات Silva-Araya et al. (1997) برای اعتبار سنجی برنامه کامپیوتی حاضر استفاده شده است.

آزمایش‌های (Silva-Araya et al. 1997) شامل شیر-لوله و مخزن است که شرایط آن در جدول ۱ آورده شده است. شکل ۴ مقایسه نتایج حاضر را با نتایج شکل ۴ مقایسه نتایج حاضر در دنباله نوسانها مشاهده می‌شود، نتایج عددی حاضر در دنباله نوسانها تطابق بسیار خوبی با نتایج تجربی دارد. برای این آزمایش پروفیل سرعت در مقطع لوله برای زمانهای مختلف و برای دو جریان آرام و آشفته در شکل ۵ و ۶ ارائه شده است. تغییرات نیمرخ سرعت با عبور موج در هر دو حالت آرام و آشفته نشان از تغییرات شدید تنش برشی دارد. این تغییرات در صورتی که در نظر گرفته نشود (به عنوان مثال در مدل‌های یک بعدی)، باعث عدم استهلاک موج فشاری خواهد شد که این نکته در شکل ۳

دائم، زاویه خطوط مشخصه از  $a \pm a$  به  $\frac{a}{1+k}$  تغییر می‌کند. با انتگرال‌گیری روی خطوط مشخصه جدید، معادلات تفاضل محدود اصلاح شده به دست می‌آید. بررسی پایداری و همگرایی روش حل برای مسائل غیر خطی که به شدت به شرایط مرزی وابسته هستند، بسیار مشکل است. برای چنین حالتی معمولاً همگرایی توسط مطالعه عدم وابستگی حل به شبکه صورت می‌پذیرد. در این حالت محاسبات با ریزتر کردن مداوم شبکه تکرار می‌شود. در صورتی که روش پایدار و تخمین‌های مورد استفاده در فرایند گسسته‌سازی سازگار باشند، حل مسئله به سوی یک حل مستقل از شبکه همگرا می‌شود.

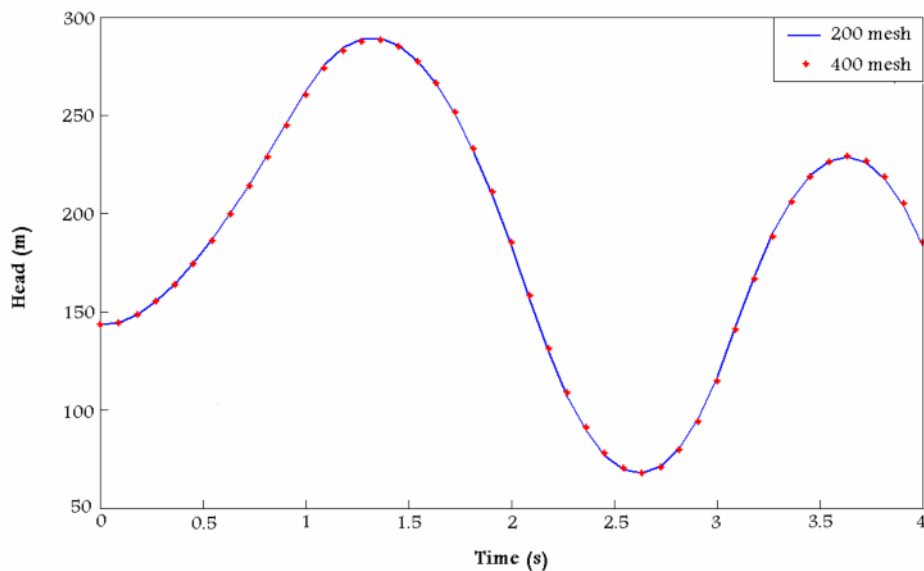
## ۶- اعتبار سنجی برنامه کامپیوتی حاضر و ارائه نتایج

به منظور بررسی صحبت برنامه کامپیوتی حاضر و در روش دو بعدی، از نتایج ارائه شده در تحقیقات Silva-Araya et al. (1997)، Wylie et al. (1993) و Silva-Araya et al. (1997) استفاده شده است. قبل از این مقایسه‌ها عدم وابستگی نتایج به تعداد شبکه در شکل ۲ نشان داده شده است. هم چنان که در شکل ۲-الف و ب دیده می‌شود، با تغییر تعداد شبکه‌ها در جهت شعاعی از ۲۰۰ به ۴۰۰ و نیز در جهت طولی از ۱۰ به ۲۰ نتایج یکسان خواهد بود. این نتایج برای شرایط ارائه شده در جدول ۲ آورده شده است. برای اطمینان از عدم وابستگی نتایج به تعداد شبکه، محاسبات برای تعداد شبکه‌های دیگری نیز انجام شده که نتایج در شکل ۲ آورده نشده است.

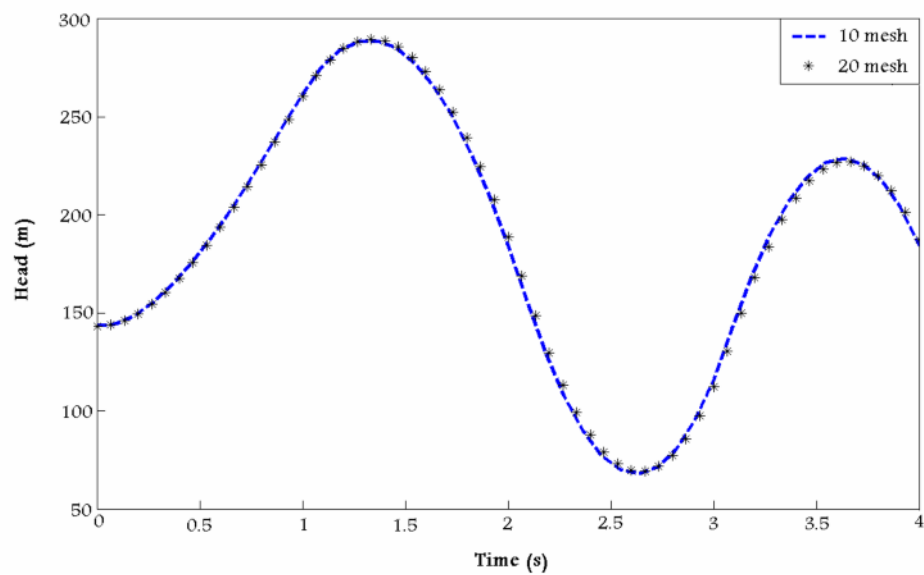
برای اعتبار سنجی نتایج، ابتدا از نتایج تجربی (Holmboe et al. 1967) - که برای جریان لرج آرام ارائه شده - استفاده شده است. این آزمایش یک لوله حاوی

مسائل ضربه قوچ - به ویژه زمانی که استهلاک نوسانات حائز اهمیت باشند- نشان می‌دهد.

نیز نمایان است. همچنین از شکل ۶ دیده می‌شود که تغییرات شب سرعت در جریان آشفته شدیدتر است. لذا این شکل‌ها لزوم به کارگیری مدل‌های دوبعدی را در حل

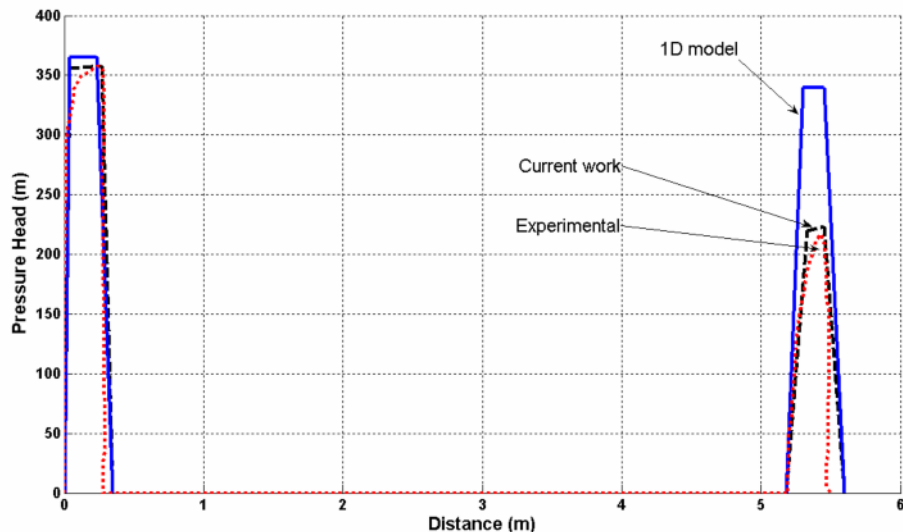


الف-تغییر تعداد شبکه در راستای شعاعی



ب-تغییر تعداد شبکه در راستای طولی

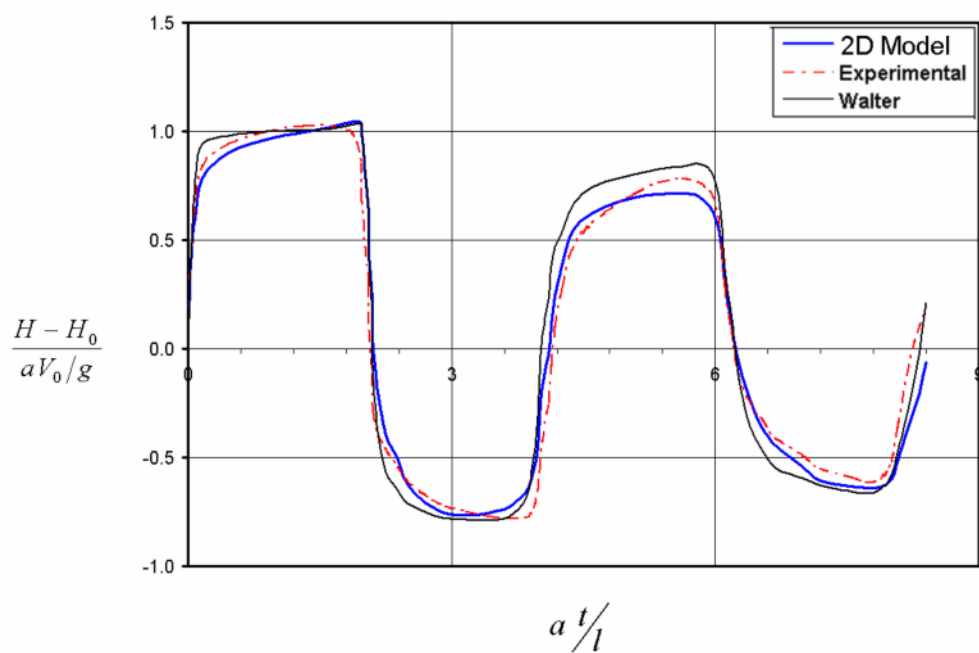
شکل ۲ عدم وابستگی حل عددی حاضر به شبکه‌بندی



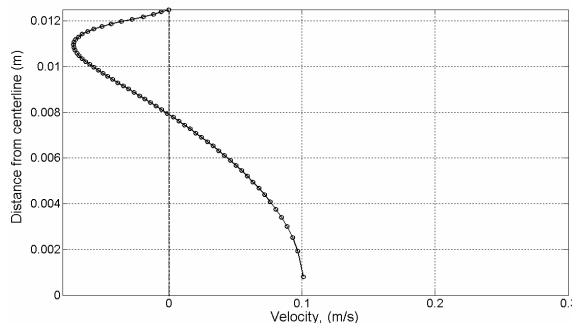
شکل ۳ نتایج حاصل از روش حاضر در مقایسه با داده‌های تجربی (Holmboe et al. (1967) و مدل یک بعدی

جدول ۱ شرایط دومین آزمایش توسط Silva et al. (1997)

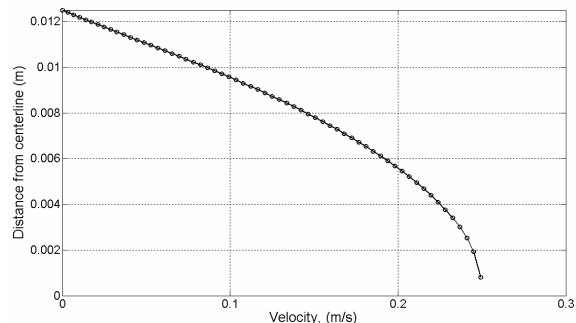
طول لوله m	D قطر لوله m	$\rho$ چگالی $kg/m^3$	$\mu$ لزجت $Ns/m^2$	a سرعت موج $m/s$	R <sub>e</sub> رینولدزاولیه
۳۶/۰۹	۰/۰۲۵	۸۷۸/۴	۰/۰۳۴۸۴	۱۳۲۴	(جريان آرام) ۸۲
۳۶/۰۹	۰/۰۲۵	۱۰۰۰	۰/۰۰۰۸۶	۱۳۵۰	(جريان آشفته) ۶۵۱۴



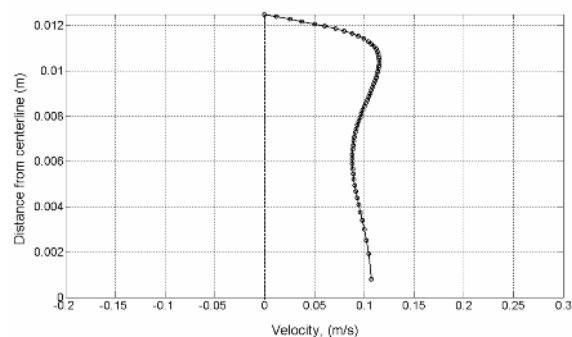
شکل ۴ مقایسه نتایج کد حاضر با نتایج (Silva-Araya et al. (1997) و داده‌های تجربی همان مرجع



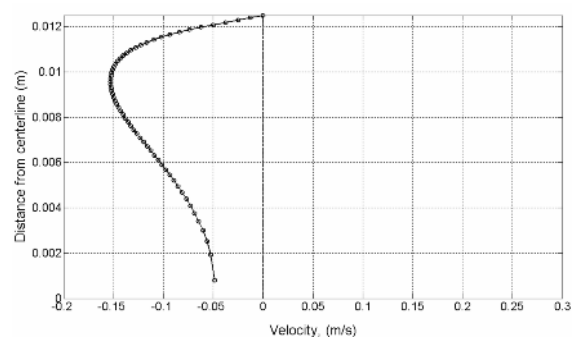
ب- بعد از عبور اولین موج فشاری



الف - قبل از عبور موج



د- بعد از برگشت موج منعکس شده از مخزن



ج- بعد از عبور موج برگشتی از مخزن

شکل ۵ نیمرخ سرعت در مسئله دوم در جریان آرام (بر اساس شرایط اولیه جریان)، محاسبه شده توسط برنامه کامپیوتری حاضر

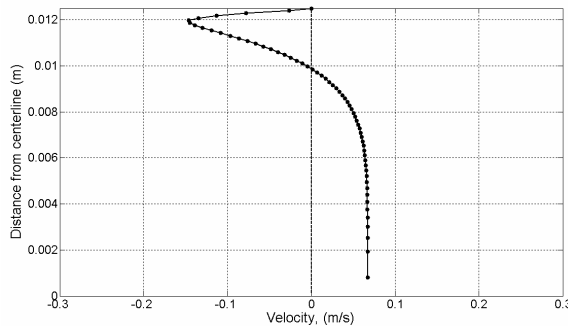
ضریب اصطکاک دائم در مسئله شیر-لوله-مخزن نشان می‌دهد. در این مقایسه بسته شدن شیر به صورت غیرخطی است و فشار و دبی در پشت شیر اندازه‌گیری شده است. همان‌طور که دیده می‌شود خطای روش یک بعدی کاملاً مشهود است. هم چنان که شکل ۸ نشان می‌دهد، حل یک بعدی نوسانها را میرا نکرده و حتی پس از ۲۰ ثانیه دامنه نوسانها اندازی کاهش یافته است، در حالی که در حل دو بعدی استهلاک نوسانها به سرعت انجام می‌شود. شکل ۹ بار دیگر به مقایسه روش یک بعدی و دو بعدی در سر وسط لوله برای بسته شدن خطی شیر در ۰/۱ ثانیه می‌پردازد. هم چنان که دیده می‌شود، اثر حل دو بعدی در استهلاک نوسانها در سر وسط لوله چنان است که می‌تواند باعث کاهش حدود ۵۰٪ بلندای وسط لوله پس

در ادامه از مثال مشهور ارائه شده توسط وایلی و استریتر (Wylie et al. 1993) برای مقایسه اثر ضریب اصطکاک دائم و غیر دائم در مدل‌های یک بعدی استفاده شده است. شکل ۷ طرحواره شبکه لوله شیر-لوله-مخزن ارائه شده توسط وایلی و استریتر (Wylie et al. 1993) را نشان می‌دهد. برای مقایسه، مسئله با هر دو مدل دو بعدی و یک بعدی حل شده که در مدل یک بعدی از ضریب اصطکاک دائم استفاده شده است. این مسئله شامل یک مخزن فشار ثابت، لوله و یک شیر در پایین دست جریان است. در شکل ۷ شیر با علامت T نشان داده شده است. مشخصات فیزیکی مسئله و قانون بستن شیر در جدول ۲ مشخص شده است.

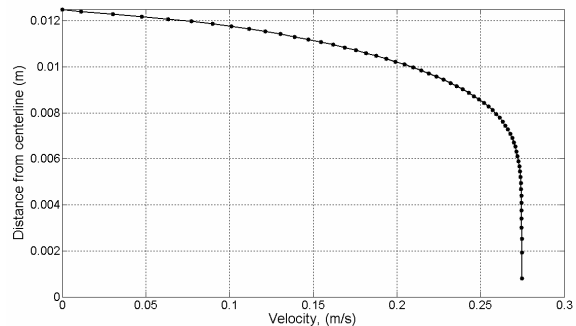
شکل ۸ مقایسه‌ای را بین روش دو بعدی با یک بعدی با

صورت خطی با زمان باشد، اختلاف بین نتایج یک بعدی و دو بعدی بسیار آشکار می‌شود.

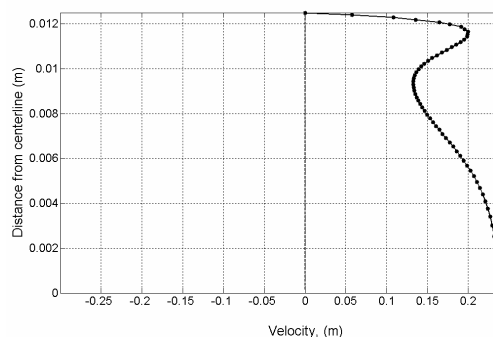
از ۲۰ ثانیه شود. در دبی این عدد به ۲۵٪ تقلیل یافته است. دیده می‌شود که در حالتی که بسته شدن شیر به



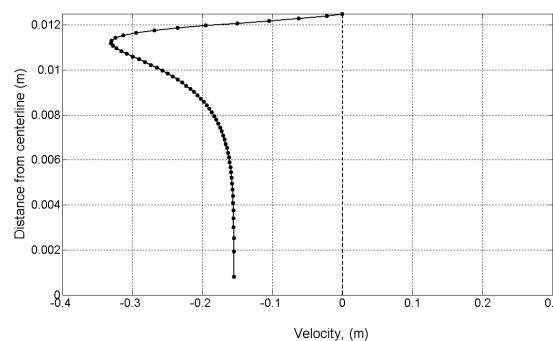
ب- بعد از عبور اولین موج فشاری



الف- نیمرخ سرعت قبل از عبور موج (بر اساس شرایط اولیه جریان)

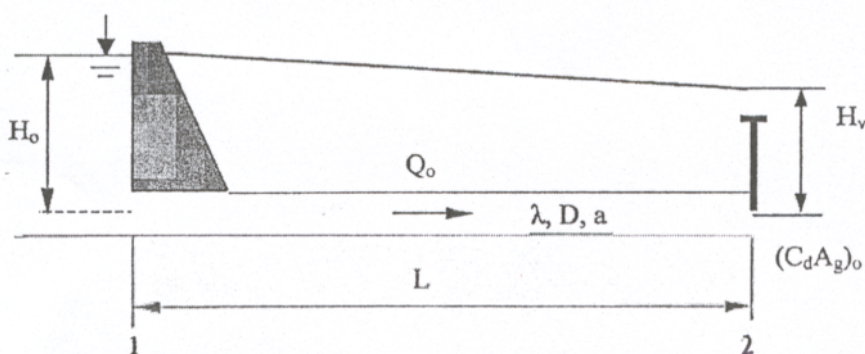


د- بعد از برگشت موج منعکس شده از شیر



ج- بعد از عبور موج برگشتی از مخزن

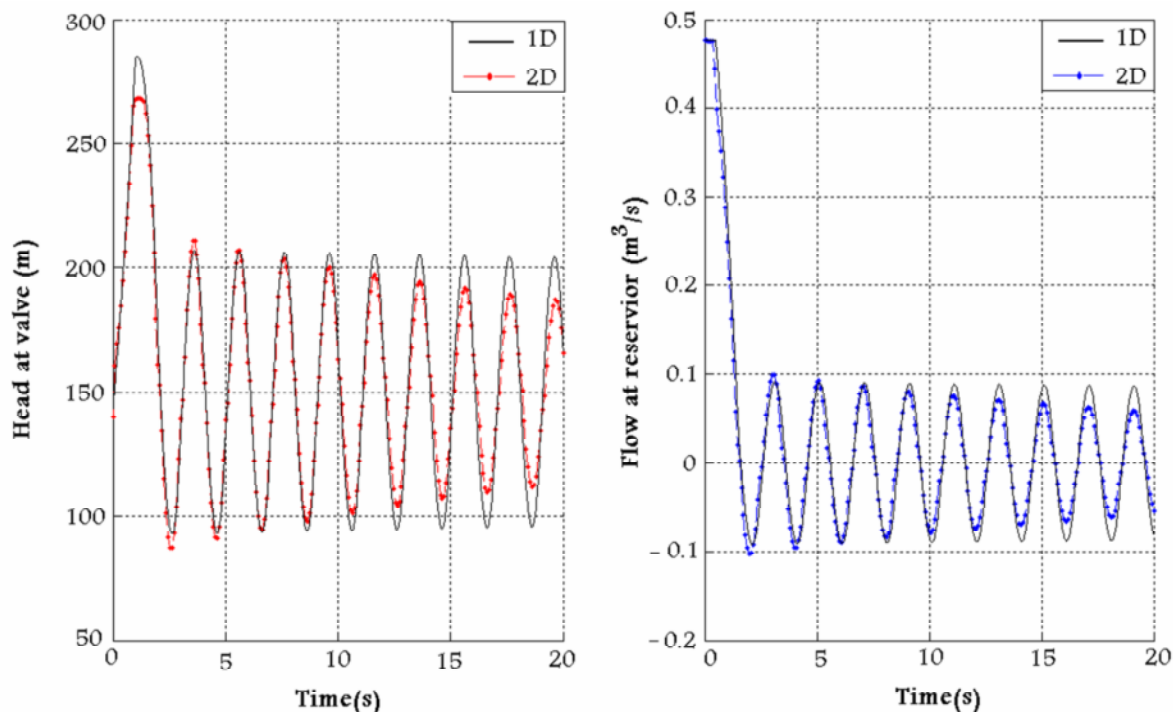
شکل ۶ نیمرخ سرعت در مسأله دوم برای جریان آشفته، محاسبه شده توسط برنامه کامپیوتری حاضر



شکل ۷ شماتیک مسأله شیر- لوله- مخزن

جدول ۲ مشخصات فیزیکی مسأله و قانون های بستن شیر جهت مقایسه با مدل های یک بعدی و ضریب اصطکاک دائم و غیر دائم

طول لوله (m)	سرعت صوت (m/s)	قطر لوله (m)	هد تانک (m)	$\tau = \left(1 - \frac{t}{t_c}\right)^{E_m}$			
				به صورت توانی	به صورت خطی	$E_m = 1/5$	$t_c = 2.1s$
۶۰۰	۱۲۰۰	۰/۵	۱۵۰	$E_m = 1/5$	$t_c = 2.1s$	$E_m = 1$	$t_c = 0.1s$



ب- بلندای پشت شیر

الف- دبی خروج از مخزن

شکل ۸ مقایسه روش دو بعدی با یک بعدی در حالت بستن شیر به صورت توانی در ۲/۱ ثانیه

(خطوط ممتد: حل یک بعدی با روش مشخصه ها و ضریب اصطکاک دائم)

گردد که ضرایب این تأثیر از طریق تجربه مشخص می شود. در مدل شکل ۱۰ قانون بسته شدن شیر به صورت نمایی است. همان طور که در این شکل مشاهده می شود، مدل برونوون می تواند خطای ناشی از ضریب اصطکاک دائم را تا حدی جبران کند و اوج فشار کمتری

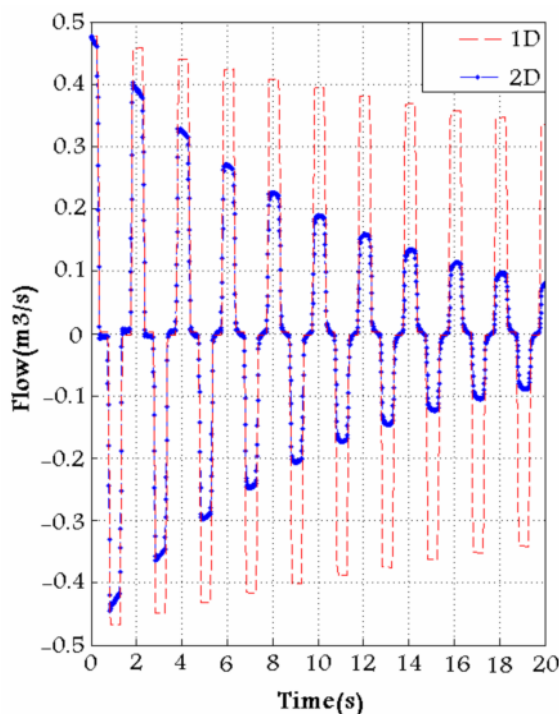
در شکل ۱۰ نتایج حاصل از روش دو بعدی با نتایج مدل یک بعدی برونوون مقایسه شده است. هم چنان که گفته شد مدل برونوون با در نظر گرفتن تاریخچه سرعت و شتاب جریان در حالت یک بعدی تاثیر گرادیان های سرعت را در ضریب اصطکاک وارد می کند. یاد آوری می

می‌آید. لذا ایجاد نوعی مصالحه برای این ضریب بی‌نیاز از نتایج تجربی نیست که این هم از عیوب مدل برونوں است. اما مدل دو بعدی حاضر علاوه بر پیش‌بینی دقیق‌تر شرایط گذرا، مشکلات روش‌های یک بعدی فوق را ندارد اما حجم حافظه و محاسبات بیشتری را طلب می‌کند. مدل عددی حاضر برای هر دو حالت جریان آرام و آشفته قابل اجرا است. در حالت آشفته در این مدل از طول اختلاط پرانتل برای محاسبه تنش برشی استفاده شده است. نتایج حاصل حاکی از آن است که در مدل دو بعدی - همان‌گونه که پیش‌بینی شده بود - امواج تولید شده به دلیل در نظر گرفتن گرادیان‌های شدید ایجاد شده در پروفیل سرعت، سریع‌تر از سایر روش‌های یک بعدی میرا می‌شوند.

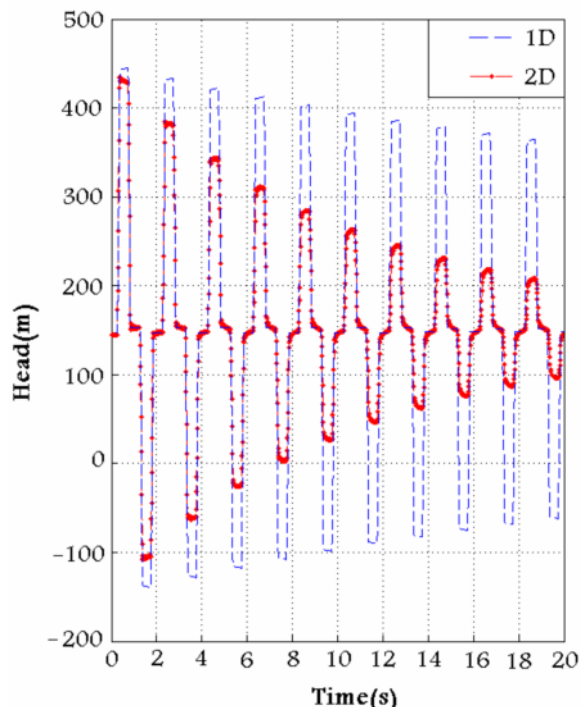
را از حالتی که جمله اصطکاک دائم در نظر گرفته می‌شود پیش‌بینی کند، اما همچنان فرکانس نوسانها در طول زمان از تحلیل دو بعدی معادلات عقب می‌افتد.

## ۷- نتیجه‌گیری

در این مقاله پروفیل سرعت در مقطع لوله در جریان گذرا در سیستم شیر - لوله - مخزن محاسبه شده است. نتایج گواه این مدعای است که در مدل‌سازی حالت گذرای سیال در لوله، تنش برشی دائم یا شبه دائم توانایی محاسبه صحیح استهلاک نوسانات را نداشته و به اصلاح تنش برشی نیاز است. روش دیگر، در نظر گرفتن اثر غیر دائم بودن جریان یا به‌کارگیری مدل اصطکاک غیر دائم برونوں است؛ اما مقدار ثابت این مدل به صورت تجربی به‌دست



ب - بلندای وسط لوله

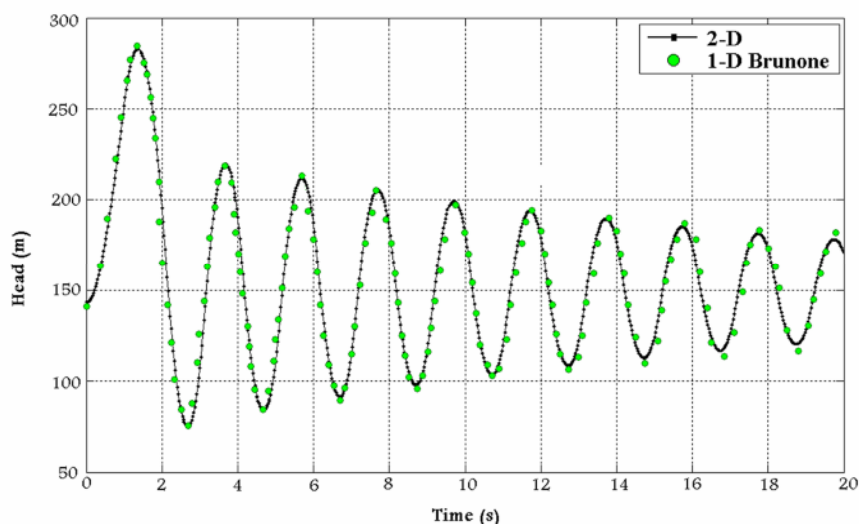


الف - دبی خروجی از مخزن

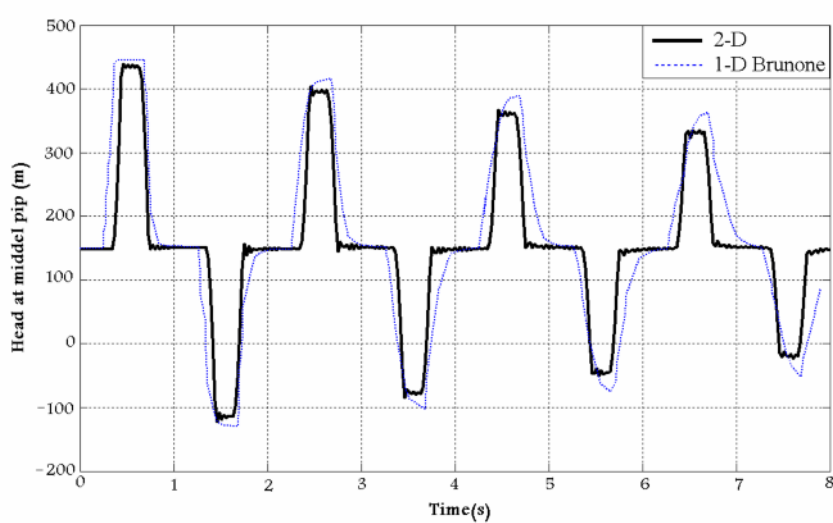
شکل ۹ مقایسه روش دو بعدی با یک بعدی در حالت بستن شیر به صورت خطی از جدول ۲ در ۰/۱ ثانیه  
(خطوط ناپیوسته: حل یک بعدی با روش مشخصه‌ها و ضریب اصطکاک دائم)

مقایسه نتایج مدل عددی حاضر با نتایج تجربی نشان می‌دهد که مدل دوبعدی تطابق بسیار خوبی با نتایج تجربی داشته و می‌تواند به عنوان مرجعی برای سایر روشها، در شرایطی که انجام آزمایش ناممکن یا پر هزینه است، به کار رود.

مقایسه مدل دو بعدی با مدلی که در آن ضریب اصطکاک غیر دائم در نظر گرفته شده، نشان می‌دهد که مدل یک بعدی همراه با ضریب اصطکاک غیر دائم، حداقل فشار را کمتر از حالت دو بعدی تخمین می‌زنند. همچنین مدل دوبعدی میراثی نوسانها را بهتر از مدل یک بعدی همراه با ضریب اصطکاک غیر دائم پیش‌بینی کرده است.



الف- بستن شیر به صورت توانی



ب- بستن شیر به صورت خطی

شکل ۱۰ مقایسه روش دوبعدی و مدل یک بعدی در هد وسط لوله

با در نظر گرفتن ضریب اصطکاک غیر دائم (مدل بروون ۲۰۰۰، Brunone et al. 2000)

Cengel, Y.A., Cimbala, J.M., *Fluid Mechanics, Fundamentals and Applications*, McGraw Hill, 2006.

Holmboe, E.L., Rouleau, W.T., "The effect of viscous shear on transients in liquid lines", Journal of Basic Engineering, Vol. 89, pp. 174-180, 1967.

Pezzinga, G., "Quasi-2D Model for unsteady flow in pipe networks", Journal of Hydraulic Engineering, Vol. 125, No. 7, pp. 676-685, 1999.

Pezzinga, G., "Evaluation of unsteady flow resistances by quasi-2d or 1d models," Journal of Hydraulic Engineering, ASCE, Vol. 126, No.10, pp. 778 -785, 2000.

Schlichting, H., *Boundary layer theory*, 8<sup>th</sup> ed., McGraw Hill, N.Y., 2000.

Silva-Araya, W. F., M., Chaudhry, H, "Computational of energy dissipation in transient flow", Journal of Hydraulic Engineering ,Vol. 123, No. 2, pp.108 -115, 1997

Vakil. A., Firoozabadi. B, "Effect of the unsteady friction models and friction-loss integration on the transient pipe flow", Scientia Iranica, Vol. 13, No. 3, pp. 245-254, 2006.

Vakil .A, Firoozabadi .B, "Effects of the surge tank and valve closing law on the transient flow", 13th International Conference of Mechanical Engineering, ISME, Iran, Isfahan, 17-19 May 2005.

Vardy, A.E., Brown, J.M.B., "Transient, Turbulent, Smooth Pipe Friction", Journal of Hydraulic Research, Vol. 33, No .4, pp. 435-455, 1995.

Vardy, A. E., Hwang, K., "A characteristics model of transient friction in pipes", Journal of Hydraulic Research, Vol. 29, No. 5, pp. 669-684, 1991.

Wylie, E.B., Streeter, V.L., *Fluid Transients in Systems*, Prentice Hall, 1993

## ۸- فهرست علائم

<i>a</i>	سرعت موج
<i>b</i>	بردار ضرایب معلوم
<i>C</i>	ماتریس ضرایب
<i>D</i>	قطر لوله
<i>H</i>	بلندای پیزومتریک
<i>l</i>	طول اختلاط
<i>Q</i>	دبی سیال
<i>R</i>	شعاع لوله
<i>r</i>	فاصله المان تا محور لوله
<i>t</i>	زمان
<i>u</i>	مُؤلفة سرعت در راستای طولی
<i>u*</i>	سرعت اصطکاکی
<i>v</i>	سرعت شعاعی
<i>ρ</i>	چگالی سیال
<i>τ</i>	تنش برشی
<i>K</i>	ثابت طول اختلاط
<i>β</i>	ضریب وزنی روش ضمنی

## ۹- منابع

Bergant, A., Simpsom, A.R., Vitkovsky, J.P., "Developments in unsteady pipe flow friction modeling", Journal of Hydraulic Research, Vol. 39, No. 3, pp. 249-257, 2001.

Brunone, B., Karney, W., Mecarelli, M., Ferrante, M., "Velocity profiles and unsteady pipe friction in transient flow", Journal of Water Resources Planning and Management, Vol.126, No. 4, pp. 236-244, 2000.